

## 討27 32 Ni-20 Cr 鋼の高温疲れにおよぼす雰囲気の影響

新日本製鐵(株)基礎研究所 ○細井祐三, 横原瑞夫  
斎藤千代寿

## I 緒言

金属材料の機械的性質が雰囲気の影響をうけることは周知の通りであるが近年高温ガス原子炉を循環する冷却材の He ガス(微量のガス不純物を含む)が耐熱合金のクリープ破断特性に複雑な影響を与えることが報告<sup>1)</sup>されて以来、各方面で不純物を含む He ガス中での酸化ボテンシャルと材質特性の関係が研究されている<sup>2)~4)</sup>。しかしながら低酸化ボテンシャルの材質に与える影響は必ずしも明らかでなく、種々のケースを検討し、総合的見地から酸化ボテンシャルと材質特性の関係を明らかにし、装置材料選定の指針を与えることが必要と考えられる。このためには低酸化ボテンシャル下での解析データの充実が必要であり、本報告はその一つとして 32 Ni-20 Cr-Fe 基耐熱合金を用い、大気、高温ガス炉で想定される程度の不純物を含む He ガスおよび約  $10^{-5}$  mm Hg 真空雰囲気の 600°C ~ 900°C 高温疲れ寿命におよぼす影響について検討したものである。

## II 供試材

Table 1 に供試材の化学成分を示す。A 材は NCF 2 規格鋼であり 10 ton 電気炉溶解、造塊、分塊後 15 mm 板厚に圧延したものである。B 材は NCF 2 規格成分から Al および Ti を除いたもので、50 kg 真空溶解後 15 mm 板厚に圧延したものである。A および B 材ともに 1150°C × 60 分の熱処理を行った。

## III 実験方法

Fig. 1 に示す試験片を圧延方向に平行に採取した。

Table 2 に高温疲れ試験条件

を示す。標点間 20 mm に石英棒

伸び検出端子を接触させ高周波加熱により 600°C ~ 900°C ± 10°C に保定期後サーボバルサーを用い、 $1.0 \times 10^{-1} \% / \text{sec}$  のひずみ速度の引張圧縮三角波ひずみ制御試験を行なった。600°C および 900°C では ± 0.5% で、また 700°C および 800°C では ± 0.5% および ± 0.25% のひずみを与えた。破断までの繰返し数 Nf と破断後の破面の SEM 観察を行なった。He ガス中の実験は雰囲気チャンバー内を  $2 \times 10^{-5}$  mm Hg に減圧後成分調整した He ガス(不純物成分: 300 ppm H<sub>2</sub>-1 ppm H<sub>2</sub>O-100 ppm CO-1 ppm CO<sub>2</sub>-4 ppm CH<sub>4</sub>)をポンベから導入置換し、この操作を 2 回繰返し後試験片表面積に対し 200 cc/min/cm<sup>2</sup> の流量にて高周波加熱コイルに開けた孔から直接試験片に吹きつけながら行った。真空中の実験は  $2 \times 10^{-5}$  mm Hg に減圧後試験を開始したが、実験完了の時点では約  $5 \times 10^{-6}$  mm Hg の真空を示していた。

## IV 実験結果

Table 3 に試験結果を示す。Fig. 2 に A 材の 700°C および 800°C における全ひずみ( $\epsilon_t$ )と Nf の関係を示す。

Table 1 Chemical composition of alloys tested

Code	C	Si	Mn	P	S	Ni	Cr	Al	Ti	N
A	0.033	0.41	0.90	0.004	0.003	31.2	21.0	0.44	0.48	0.002
B	0.061	0.20	0.51	0.016	0.003	31.6	20.0	—	—	0.004

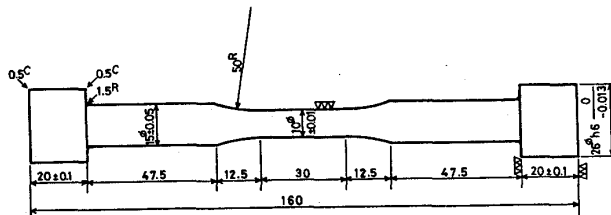


Fig. 1. Size of specimen tested

Table 2 Conditions of tests

Environment	Test Temp. (°C)			
	600	700	800	900
Air	○	●	●	○
He gas	○	●	●	○
Vacuum	○	●	●	○

○ tested in strain range of ± 0.5%

● tested in strain range of ± 0.5% and ± 0.25%

N<sub>f</sub>は真空中、特に低ひずみ領域で最も長く、ついで空气中Heガス中の順であった。また700°CにおけるN<sub>f</sub>は800°CにおけるN<sub>f</sub>よりも全般的に長かった。

Fig. 3にB材の700°Cにおけるε<sub>t</sub>とN<sub>f</sub>の関係を示す。B材においてもA材と同じく、N<sub>f</sub>は真空中で最も長く、Heガス中の低ひずみ側で最も短かかった。またB材のN<sub>f</sub>はいずれのひずみ域でもA材に比較し短かかった。

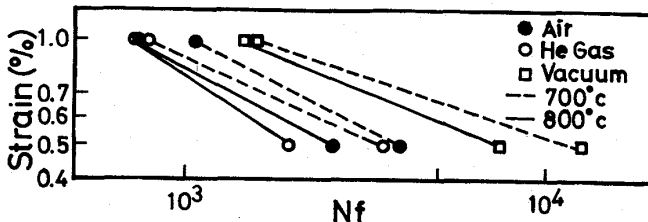
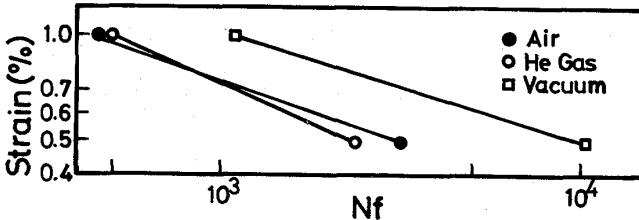
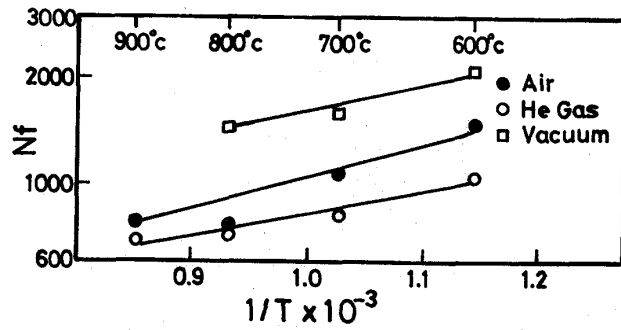
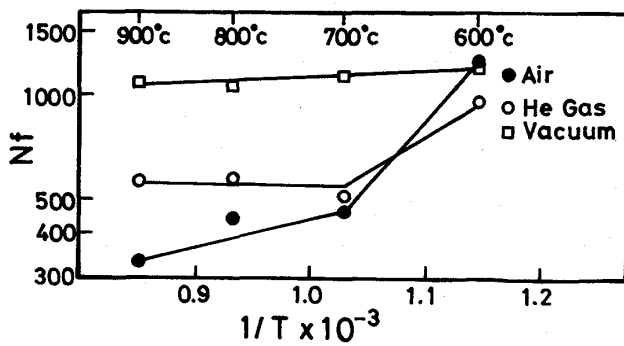
Fig. 4にA材のε<sub>t</sub>=1.0%におけるN<sub>f</sub>と試験温度および雰囲気の影響を示す。いずれの温度でもN<sub>f</sub>は真空中で最も長く、ついで空气中、Heガス中の順であった。また温度が高くなるにつれてN<sub>f</sub>は低下する。この低下の1/Tにに対する勾配は3種の雰囲気でほぼ等しかった。

Fig. 5にB材のε<sub>t</sub>=1.0%におけるN<sub>f</sub>と試験温度および雰囲気の影響を示す。空气中およびHeガス中の試験の場合N<sub>f</sub>は600°Cで最も長く、700°Cで急に低下する。700°C～900°C Heガス中試験のN<sub>f</sub>は温度によらずほぼ一定であり、1/Tにに対する勾配は最も小さく、ついで真空中の順であった。700°C～900°C空气中におけるN<sub>f</sub>の1/Tにに対する勾配はA材のそれとほぼ同じで、Heガス中および真空中ではA材に比較し小さい。

高温疲れ破断後の破断面の断面組織観察の結果、いずれの試験片でも亀裂は粒内を伝播していた。代表例としてA材の700°C、ε<sub>t</sub>=1.0%における破断部の断面組織をPhoto 1に示す。AおよびDは空气中、BおよびEはHeガス中、CおよびFは真空中試験後の断面組織である。A、BおよびCは破面部の断面の、またD、EおよびFは側面の組織を示す。真空中での試験材の側面にはサブ亀裂が認められず、主亀裂のみが発生伝播し、破断にいたっているようである。空气中での試験材の側面には浅いサブ亀裂が認められた。Heガス中での試験材の側面には主亀裂以外に粒界で発生

Table 3 Results of high temperature fatigue (N<sub>f</sub>)

Environment	Total Strain	alloy A				alloy B			
		Test Temp.		Test Temp.		Test Temp.		Test Temp.	
		600°C	700°C	800°C	900°C	600°C	700°C	800°C	900°C
N <sub>f</sub>	Air	1.0%	1500	1060	730	850	1220	460	450
		0.5%	—	3980	2600	—	—	3150	2550
	He gas	1.0%	1030	800	720	—	920	500	570
		0.5%	—	3550	1930	—	—	2390	—
	Vacuum	1.0%	2100	1600	1440	—	1200	1110	1040
		0.5%	—	12800	7500	4800	—	10328	—

Fig. 2. Relation between ε<sub>t</sub> and N<sub>f</sub> of alloy A tested at 700°C and 800°C.Fig. 3. Relation between ε<sub>t</sub> and N<sub>f</sub> of alloy B tested at 700°CFig. 4. Relation between N<sub>f</sub> and test temperature of alloy A tested under the strain of 1.0%Fig. 5. Relation between N<sub>f</sub> and test temperature of alloy B tested under the strain of 1.0%

し、粒内を伝播したサブ亀裂が認められた。側面におけるこのようなサブ亀裂の発生の雰囲気によるちがいは A 材および B 材の各試験温度で破断した試片全てに認められ、そのようすは Photo 1 に代表される通りであった。

Photo 2 に A 材の  $700^{\circ}\text{C}$ ,  $\epsilon_t = 0.5\%$  での破断面の SEM 観察結果を示す。A および D は空気中、B および E は He ガス中、C および F は真空中の破面で A, B および C は亀裂発生点の、D, E および F は試験片中心部の破面の SEM 像である。空気中および He ガス中での破面の亀裂発生部近くには Striation が認め難いが、真空中での破面の亀裂発生点には明瞭な Striation が認められた。また破面の中心部にはいずれの雰囲気でも明瞭な Striation が認められた。

Fig 6 に A 材および B 材の亀裂発生点から  $2\text{ mm}$  離れた部分の Striation 間隔から推定した亀裂伝播速度 ( $d_1/dN$ )<sup>\*</sup> と  $N_f$  の関係を示す。 $d_1/dN$  と  $N_f$  の間には材料および雰囲気のいかんにかかわらず直線的関係が認められ、 $d_1/dN$  が小さいものほど  $N_f$  は長い。

Fig 7 に A 材の  $700^{\circ}\text{C}$ ,  $\epsilon_t = 0.5\%$  における応力拡大係数 ( $\Delta K$ ) と Striation 間隔から求めた亀裂伝播速度 ( $d_1/dN$ ) の関係を示す。 $\Delta K$  が 2 以上では  $d_1/dN$  は He ガス中で最も大きく、ついで空気中、真空中の順に小さかつた。なお  $d_1/dN$  は  $\Delta K$  の増加とともに增加するが、その増加の勾配は 3 種の雰囲気でほぼ等しかった。

#### IV 考 察

32 Ni-20 Cr-Fe 基合金の Ti, Al 添加 (A 材) およ

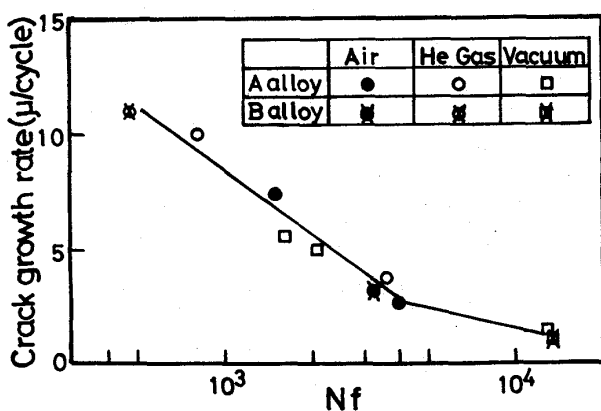


Fig. 6. Relation between crack propagation rate and  $N_f$  at various tested conditions of the two alloys

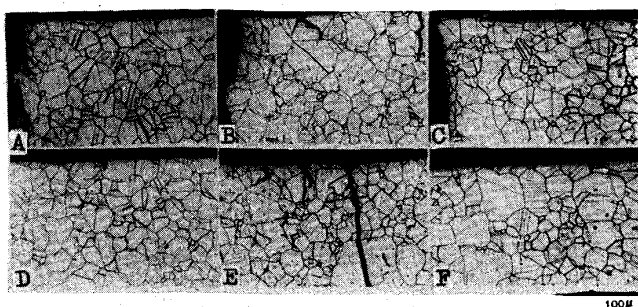


Photo. 1. Micrographs of cross section of specimens ruptured in high temperature fatigue under the strain of 1.0% at  $700^{\circ}\text{C}$

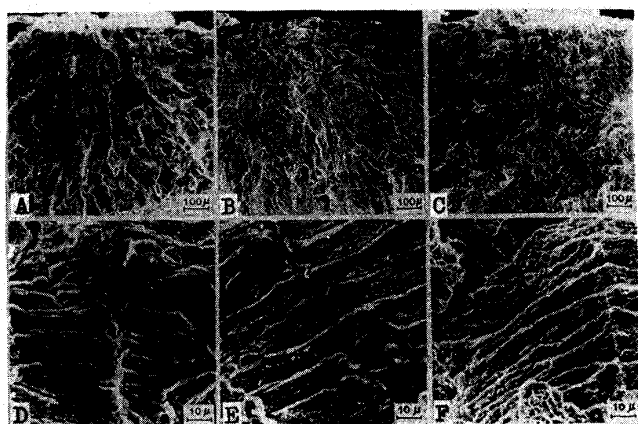


Photo. 2. Secondary electron micrographs of surface of specimens ruptured in high temperature fatigue under the strain of 0.5% at  $700^{\circ}\text{C}$

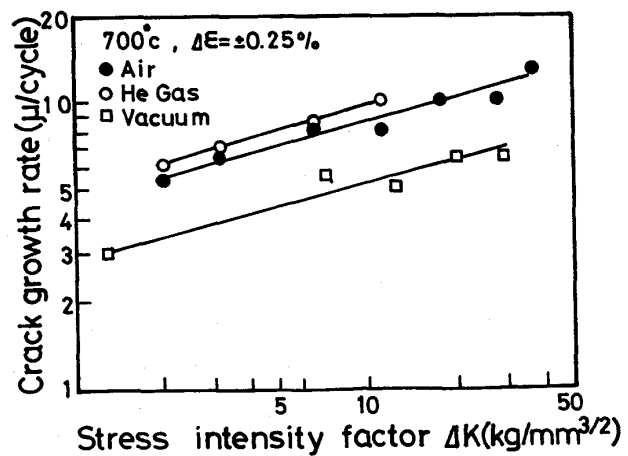


Fig. 7. Relation between stress intensity factor and propagation rate of crack in alloy A

び無添加材( B材 )を用い, 600°C ~ 900°C 高温疲れにおよぼす雰囲気( 空気, 不純物を含む Heガス, 真空 )の影響を検討した。A材において Nf は真空中, 空気中, Heガス中の順に前者ほど長い。Nf は  $d_1/d_N$  によって決まり  $d_1/d_N$  が小さいほど長いことが Fig 6 から明らかである。従って前述のように同一ひずみ範囲において Nf に差が生じるのは  $d_1/d_N$  が雰囲気によって影響をうけるからだといえる。ひずみサイクルが一定であれば  $d_1/d_N$  は亀裂先端における切欠の形状および応力集中度に影響されると考えられる。主亀裂の伝播のようすについて Photo 1 に示したサブ亀裂および Photo 2 の SEM 像から推定すると,

- (1) 真空中では Striation の間に Dimple 状の延性破面を呈しており  $d_1/d_N$  が小さいことが組織的に明らかである。
- (2) Heガス中では Striation の間隔が広くかつ脆性破面を呈しており, 主亀裂に枝分れは認められない。また亀裂先端は空気中に比較し応力集中の大きい鋭角を示しており  $d_1/d_N$  が大きいものと考えられる。
- (3) 空気中では Heガス中と同じく脆性破面を呈しているが, 主亀裂の周りに枝分れが認められ, 亀裂先端で応力が分散しているものと考えられる。また亀裂先端も応力集中の小さい鈍角を呈しており,  $d_1/d_N$  も小さかったものと考えられる。

以上の観察から Fig 7 に示したように  $\Delta K$  が等しければ  $d_1/d_N$  は Heガス中, 空気中, 真空中の順で前者ほど大きく, Nf が Heガス中で短かいことがうなづける。

A材とB材の Nf の温度依存性の差の理由は以上の実験結果からは明らかでなかったが, Ti および Al の有無により, 温度依存性が異なることは興味あることで今後の研究課題といえる。

## V まとめ

32Ni-20Cr-Fe基合金の Ti, Al 添加材( A材 )および無添加材( B材 )を用い, 600°C ~ 900°C の高温疲れにおよぼす雰囲気( 空気, 不純物を含む Heガス, 真空 )の影響を検討し次の事が明らかになった。

1. Ti および Al を含まない B材 は A材 に比較し Nf が短かかった。
2. Nf は温度が高くなるにつれて短かくなる。A材 の Nf の温度による変化の傾向は 3種の雰囲気でほぼ等しい。B材 の温度の上昇による Nf の低下は空気中が最も大きかった。B材 の 700°C ~ 900°C においては Nf はほぼ等しく温度による差は認められなかった。
3. A材 の  $d_1/d_N$  は Heガス中, 空気中, 真空中の順で前者ほど大きかった。
4. Nf は  $d_1/d_N$  で律せられ,  $d_1/d_N$  が大きいものほど短かかった。
5. 真空中試験材は延性破面を呈しており, Heガス中および空気中試験材は脆性破面状を呈していた。また空気中では亀裂先端は鈍角で主亀裂は枝分れしながら伝播していた。Heガス中では亀裂先端は鋭角で主亀裂は枝分れなく伝播していた。この破面伝播の差が  $d_1/d_N$  に差を与えているものと考えられる。
6. Ti および Al の添加効果の冶金学的解明は本実験のみではできなかつたが, 雰囲気のちがいにより温度依存性に差が生じており, これらの差を究明して行くことにより低酸化ボテンシャル下での材質挙動の一因を解明できるものと考える。

## VI 参考文献

1. R. A. U. Huddle : "Effects of Environments on Material Properties in Nuclear Systems", Inst. Civil Engrs., London P. 17, 203(1971)
2. 新藤, 近藤: 鉄と鋼, 62(1976), 1540 ~ 1549
3. 武井, 新居: 日本金属学会誌, 41(1977), 1187 ~ 1193
4. Y. Hosoi, S. Abe : Metallurgical Transactions A 6A(1975), 1171 ~ 1177

\* 正確には亀裂伝播速度に比例する値と思われる。